

ハイブリッド吊床版橋の耐風安定性

○九州産業大学 学生員 高橋 紀登, 正会員 吉村 健

新構造技術科 正会員 篠原 輝之, 九州産業大学 非学生員 林 祐一

1.まえがき

多数の小島を相互に橋で本土と結ぶことは、日韓共通の国土開発課題の一つである。日通行量が少ないことと多数の橋が必要なことから、廉価な簡易吊形式橋梁がこれに適するものと思われる。小島は、岩から成ると考えられるので、筆者らは吊床版をベースにしたハイブリッド形式橋梁を日韓共同研究として提案し¹⁾、その力学特性を検討して来た²⁾。まず第1段階として、道路橋への適用を視野に入れた歩道橋を検討している。本文では、その耐風安定性に関する検討結果を記す。

2.検討橋梁の概要

吊床版を道路橋に適用するためには、非常に大きいケーブル張力 H_w (水平成分) を減らすことが建設コスト低減のための最重要課題である。 H_w は、桁の全重量 W および W 比 f/L の逆数に比例する。 W は、先に提案した鋼床版³⁾の適用によって PC 吊床版の約 1/8 まで軽減できるが、一方、道路橋では歩道橋より f/L を減らす必要があるため、新形式の考案が必要となる。

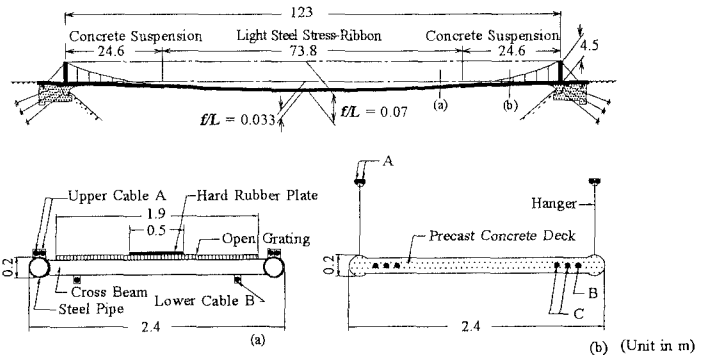


図-1 提案したハイブリッド吊床版橋の予備設計

提案したハイブリッド吊床版橋の予備設計例を図-1 に示す。スパン中央の 3/5 は鋼吊床版であり、その両側は通常の PC 吊床版である。7 割のケーブルは、PC 床版の上部に張り出して床版をハンガーで吊り下げ、「吊床版吊橋」とする。この上部ケーブルはコンクリート塔で支持され、全死荷重と活荷重に抵抗する。残り 3 割の下部と内部ケーブルは、活荷重だけでなく、架設とプレストレスにもそれぞれ活用できる。鋼管には、コンクリートを充填する。検討の結果、床版の 2 倍強の f/L を有する上部ケーブルと軽量鋼桁の導入により、PC 吊床版(陣屋の森吊橋、 $L=123m$, $f/L=0.0333$)の約 1/9 に H_w を減らせること、ならびに軽量化による柔性は増すものの、活荷重によるたわみは許容値の約半分であることなどがわかった。

3.固有振動特性および風洞実験概要

低次の固有振動モードと振動数を図-2 に示す。図中に $Jinyu$ と記す鉛直曲げ対称 2 次モードを除くと、モードと振動数は共に陣屋の森のそれらと大差はなかった。

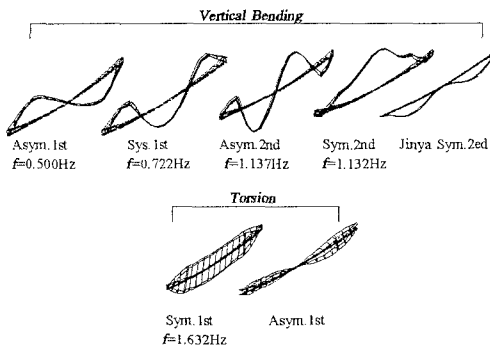


図-2 固有値解析の結果

表-1 予備設計された主桁の質量

| 物理量 | Steel 断面 | PC 断面 |
|--------------|----------|-------|
| 質量* | 25.5 | 103 |
| 質量極慣性モーメント** | 11.8 | 40.1 |
| 等価質量* | 28.0 | |
| 等価極慣性モーメント** | 17.5 | |
| 無次元質量 | 38.9 | |
| 無次元極慣性モーメント | 4.23 | |

* : $kg \cdot s^2/m^2$ ** : $kg \cdot s^2$

1/4 縮尺の 2 次元ばね支持模型による風洞実験を行い、フラッタと渦励振について検討した。模型の断面形状は、図-1 に示した PC 吊床版とオープンングレティング床版の 2 種であり、後者のゴム板を除去したものも検討した。連成モードはねじれ対称 1 次と鉛直曲げ対称 2 次であり、ねじれ-曲げ固有振動数比 f_b/f_s を 1.1 ~ 2.0 の範囲で変化させた。迎角 α は $0^\circ, \pm 3^\circ$ の 3 種。2 種の断面の質量に関する情報は表-1 に示すとおりであり、等価質量と等価極慣性モーメントを相似させ、構造対数減衰率 δ を 0.02 に設定して一様流中で実験した。

4. 実験結果

実験結果の例を図-3(a), (b) に示す。全ケースに対する結果をとりまとめると次のようであった。①渦励振は発生しない。②オープンングレティング断面はフラッタを生じない。③PC断面は、 α と f_r/f_b に依らずフラッタを生じる。その無次元限界風速 V_{rL} は 4~9。④グレティング一部閉鎖断面は $\alpha = +3^\circ$ で③より弱いフラッタを生じる。

図-4 は、 $V_{rL} - f_r/f_b$ の実験結果を、平板翼に関する Selberg の式による計算値と比較したものである。図中、Concrete-Steel が本橋と対応する。図より、コンクリート断面の補正係数 K は約 0.65 であること、および適度の重量が V_{rL} を高めるのに必要であることなどがわかる。

5. 考察

$f_r = 1.632\text{Hz}$, $f_r/f_b = 1.442$ (図-2) に対する V_{rL} は約 7 であった。よって、実橋でのフラッタ限界風速 V_{rL} は約 25m/s となる。実際には、PC 桁とオープンングレティング桁との複合構造であり後者ではフラッタを生じないので、 V_{rL} は 25m/s より高い。しかし、完璧を期するためには、 f_r/f_b と f_r のいずれも増すことが望ましい。これを可能にする提案の一つが図-5 に示す「吊床版斜張橋」である。詳細については、検討結果を待たなければならないが、PC 桁部を A 型塔の斜張橋型式に変更することによりねじれ剛性を増し、 f_b を増すことができるものと思われる。

6. むすび

本研究によって、「吊床版吊橋」は渦励振を生じないものの、フラッタに対して完璧でないことがわかった。これを改良するためにはねじれ剛性を増す必要があり、その対応策として鉛直ハガーを斜ケーブルに置換した「吊床版斜張橋」を提案した。

参考文献 1) Yoshimura, T. et al.: Proposal of steel and hybrid stress-ribbon bridges for their application to roadway bridges, Proc.IABSE Symp.,1998(to be published). 2) Yoshimura, T. et al.: Proposal of a Hybrid stress-ribbon Pedestrian bridge for its Application to Roadway bridges, Fib.Symp.,1999. 3) 水田洋司 ほか: 鋼吊床版歩道橋の一提案とその力学的特性, 土木学会構造工学論文集 Vol43A, pp1191-1196, 1997

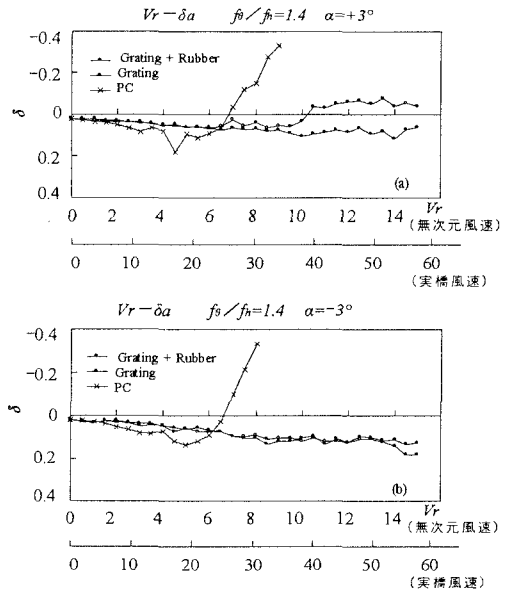


図-3 曲げ・ねじれ2自由度フラッタの実験結果

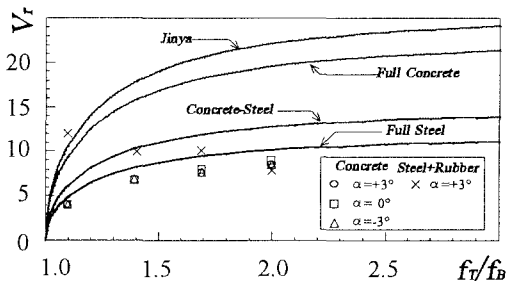


図-4 ハイブリッド吊床版橋フラッタ特性

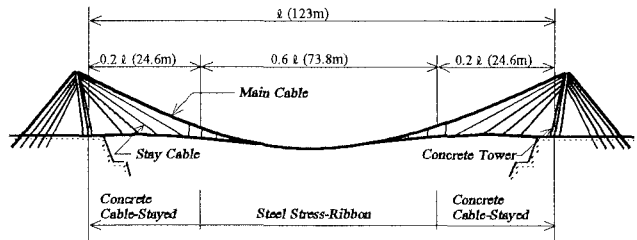


図-5 改良型のハイブリッド橋